

## シラス層の安定性について

宮崎大学工学部

藤本 廣

### 1. まえがき

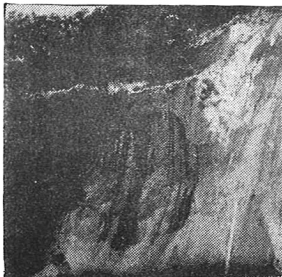
昨年、第3回災害科学総合シンポジウムにおいて、筆者は、41年7月初旬の豪雨による鹿児島県から宮崎県下のシラス層災害の実態と、工事災害も含めて層の崩壊タイプを7種類に分類し、それについて問題点を極めて定性的でしかも現象論的なものであったが一応指摘しておいた。

7種類のタイプといふものは次の通りである。

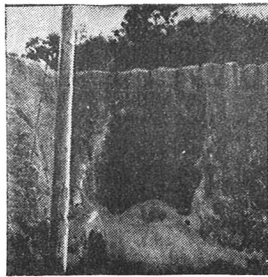
- (1) シラス台地の山腹崩壊。 宇真-1, -2, -3, およびα-4.
- (2) 切土斜面の崩壊。 宇真-5, およびα-6.
- (3) 盛土斜面の崩壊。 宇真-7.
- (4) 斜面浸食。 宇真-8.
- (5) 台地の陥没性崩壊。 宇真-9.
- (6) 石積、擁壁の崩壊。 宇真-10.
- (7) 切土工事中の崩壊事故。 宇真-11, およびα-12.



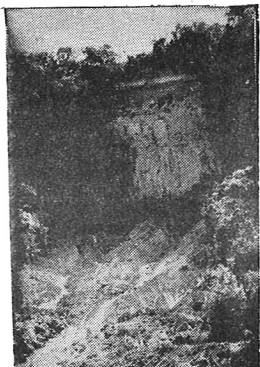
宇真-1. 鹿児島県根占地方の山腹崩壊



宇真-4. 鹿児島市内シラス層の崩壊例。(a)



宇真-3. 鹿児島市内シラス層の崩壊例(b)



宇真-2. 根占町角川内の山腹崩壊

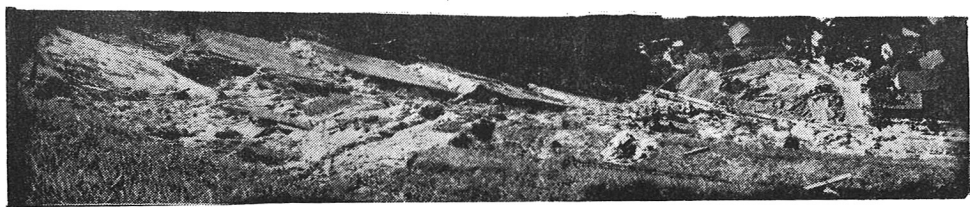


宇真-5.  
鹿児島県鹿部町  
農道切土の崩壊  
例。



宇真-6.

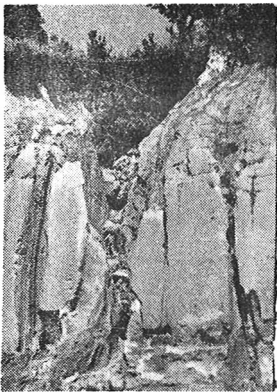
宮崎県高城町  
四家、国道10号  
線 切土の崩壊  
例。



宇真-7. 鹿児島市城山の盛土斜面の崩壊例。



写真-8. 切土斜面の浸蝕例  
(宮崎県高城町四家、国道10号線)



字典-9. 切土斜面の陥没性崩壊  
例.(鹿児島県賤母町農道)



字真-10. ブロック積壁の崩壊例  
(鹿児島市内)

上記7種類に分類し、字真に例示した崩壊タイプのそれ  
ぞれの肉眼像については文献1)を参照されたい。こゝでは、  
一般の斜面の力学的な安定解析の対象となる上記(1), (2),  
(3)および(7)の分類に属するものうち、特に字真-3,-4ならびに字真-6で示した崩壊が、同じ系統の字真-5に例示し  
たものに比較してかなり特異な崩壊性状を示していくことから  
力学的に興味あるものと思われるが、こゝにについて行  
なった若干の考察結果を報告する。

## 2. シラス層の切土斜面の安定性.

一般に均質な土層からなる有限長斜面の安定解析は、想定した平面または円形、あるいは複合すべり面上で、全応力表示の土のセン断強さ  $s = c + \alpha \tan \phi$  か有効応力表示のセン断強さ  $s = c' + (\alpha - u) \tan \phi'$  の何れかを用いて、安全率を次式の何れかで計算してその斜面が安定か否かが検討される。

$$F_m = \frac{\text{すべりに抵抗しようとする力のモーメント}}{\text{すべりを起させようとする力のモーメント}} \quad \dots \dots \dots \quad (1)$$

$$F_s = \frac{\text{すべり面上のセイ断抵抗の和}}{\text{すべり面上のセイ断応力の和}} \quad \dots \dots \dots \quad (2)$$

一方、斜面が安定を保ちうる限界高さという概念規定で平面すべり面を想定して、その面上での力の釣合いかから求めた次式を用いることより。

切工面が鉛直の場合には斜面の傾斜角 $\beta$ を90度として次式が用いられる。

$$H_c = 4c \tan(45^\circ + \phi/2) / r \quad \text{--- (4)}$$



字典-12. 土工事中の崩壊例  
(鹿児島市内)

ところで、字真<sup>2</sup>は、平常時は(3)式あるいは(4)式で計算される限界高さ以内にあって安定を保っていた斜面が、降雨によって飽和状態となり密度を増し、同時に強度定数の低下と周隙水圧の発生により既に限界高さが減少した時に崩壊した典型的な例である。

崩壊形状は(3)～(4)式の想定すべり面に近い。これに対し、字真<sup>3</sup>、<sup>4</sup>、あるいは字真<sup>6</sup>では層全体にわたって天端から発生したすべり面はみられなり。こううう字真<sup>6</sup>の層面は殆んど垂直に近いものであ

る。つまりこのことは、斜面が飽和状態となつても層全体としては(3)～(4)式でチェックされるとこらの安定を保つうる限界高さ以内にあつたもととせずかろう。しかるに局部的にある曲面に沿つた崩落を示せていることは、單に(1)～(4)式によつて安定計算を行ひうだけでは危険であることを物語つゝる。特に鉛直面では通常斜面内の円形すべり面による検討を行なわないので注意を要する事象である。このような予想された危険な崩落（字真<sup>3</sup>の地表では人命が失なわれてゐる）が起生する原因は、勿論、層上部からの流下雨水により下層が洗塗され、その為に上層部を支えきれず崩落するといふこともありうるが、それ以外にもシラス層独特的のセン断抵抗性にも一因があると思われる面がある。<sup>2), 3)</sup>

すなわち、乱したシラスについて言つたが、筆者がこれまでに行なってきた研究によると、シラスのセン断試験で求められる見かけの粘着抵抗は通常の粘土のそれとは本質的に異なり、粒子相互のインターロッキン<sup>5)</sup>とセン断時のブレイクオフ<sup>6)</sup>に伴なう負压によるものであることが判つゝる。一方、一般に、(1)～(4)式で斜面の安定をチェックする場合には粘着抵抗が想定されたすべり面全体にわたつて有効に効くものとして計算されている。したがつて安定計算における粘着抵抗の影響は極めて大きくなり、この点に一般に(1)～(3)式によるチェックでは安全であるという結論に到達する傾向がある<sup>4)</sup>。さらにシラスの引張り強度を測定した例をみると、それは殆んど差視すべき程度のものである。これらの点を考慮に入れてシラス層の安定性を考えると、従来の(1)～(4)式の講導過程で想定されたすべり面以外の破壊現象が別に存在するのではないかと予想されるのである。その一つの表示が字真<sup>3</sup>、<sup>4</sup>や字真<sup>6</sup>にみられる崩落ではないかと考えられる。以下に、このような見地からの安定計算例を挙げて説明する。計算に採用したシラス層の工学的性質は次の通りである。田家シラス ( $w=63.8\%$ ,  $\gamma_c=1.181 \text{ t/m}^3$ ,  $\gamma_d=0.721 \text{ t/m}^3$ ,  $E=2.32$ ,  $S_r=65.9\%$ ,  $G_b=2.39$ ,  $C_d=0.3 \text{ kg/cm}^2$ ,  $\phi_d=36^\circ$ ), 層高  $H=12 \text{ m}$ ,

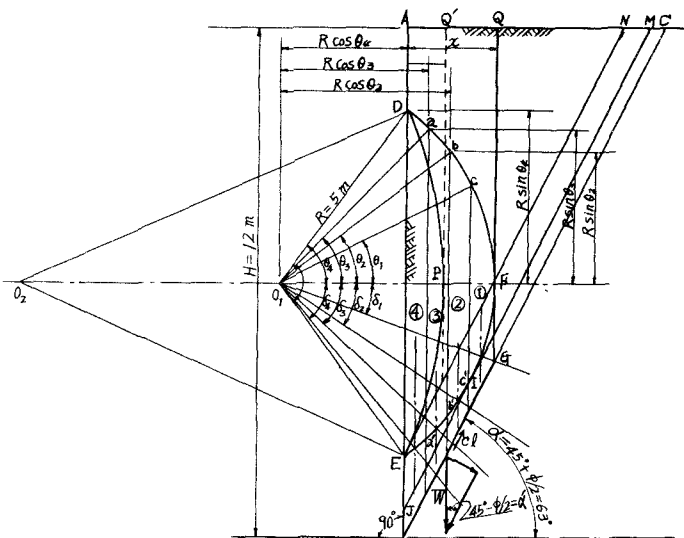


図-1

今、図-Iに示す鉛直法面の安定性を検討する。想定すべり面をBと通って水平と $(45^\circ + \theta/2)$ の傾きとなる面BCとする。飽和時の見かけ密度は $\gamma = \gamma_a + (\text{周隙水満たす水の重量}) = 1.421 \text{ t/m}^3$ となる。危険側を考慮して(4)式により限界高さを求めると、 $H_c = 16.6 \text{ m} > H = 12 \text{ m}$ で安全である。

すべり面BCにおける安全率を求めると、 $\Delta$ をすべり面長とすれば、 $F_s = (cL + \gamma A \sin\delta)/\gamma A \cos\delta'$ 、組し周隙水圧は考慮しない。上式で計算すると $F_s = 1.400$ となる。

次に実際に近い崩壊面として円弧すべり面(中心 $O_1$ 、半径R=5m)を図のようにはじき出すと、この場合(1)式の方溝で安全率を求める式は次のようになる。但し分割端による。

$$F_m = \frac{cL + R^2 \gamma \tan\theta_i \left\{ \frac{1}{2} \left( \frac{2\theta_i}{180} \pi - \sin 2\theta_i \right) \sin\delta_i + \sum_{i=2}^n \left[ \frac{1}{2} \left( \sin 2\theta_{i-1} - \sin 2\theta_i \right) + \sin(\theta_i - \theta_{i-1}) \right] \sin\delta_i \right\}}{R^2 \gamma \left\{ \frac{1}{2} \left( \frac{2\theta_i}{180} \pi - \sin 2\theta_i \right) \cos\delta_i + \sum_{i=2}^n \left[ \frac{1}{2} \left( \sin 2\theta_i - \sin 2\theta_{i-1} \right) + \sin(\theta_i - \theta_{i-1}) \right] \cos\delta_i \right\}} \quad (5)$$

(5)式によると、 $F_m = 2.87$ となる。 $R = 10 \text{ m}$ の場合も安全である。以上の計算では $C_d$ が大きくなっている。

さらに、前述のようにシラスの $C_d$ の特性を考慮し、一方、層の下方にある柱自重によるせん断応力が大きくなるとの考え方から、図のように $BG$ の平面すべり面と円弧 $DabcFG$ との複合すべり面を考える。この場合 $C_d$ は $BG$ の部分にのみ作用するとし、 $DabcFG$ の部分には全く抵抗がないものとする。すると安全率 $F_s$ は $F_s = 1.36$ となる。

また同じような考え方で、唯、層の自重として図のABGQ部の断面を考えると、 $F_s = 1.07$ となる。したがって図-IでZ、つまりAQの巾のとり方がいかんによつては $F_s \leq 1$ なる場合が存在するようである。Hおよび $\alpha, \alpha'$ を一定とした場合、ABGQの面積は $(HZ - \frac{\pi}{2} c \cot\alpha')$ であるから、 $F_s$ を求める式は

$$F_s = \frac{cZ \cos\alpha' + \gamma Z \left( H - \frac{\pi}{2} c \cot\alpha' \right) \sin\alpha'}{\gamma \left( H - \frac{\pi}{2} c \cot\alpha' \right) \cos\alpha'} \quad (6)$$

となり、これより、 $F_s \leq 1$ として、Zを求めると

$$Z = \frac{2H(\sin\alpha' - \cos\alpha') + c \cos\alpha'}{\cos\alpha' (1 - \cot\alpha')} \quad (7)$$

となる。(7)式で求めたZが図-IのAC以内にければ、この層は問題にしているような崩落を発生する可能性がある。

### 3. まとめ

シラス層が垂直でも安全であるという経験的な一般の説は、あくまでも斜面の浸透過程にだけ適用しうるもので、崩壊という力学的な現象に対しては全く意味をなさない。さらにまた、従来の安定計算法のみで安全であるという結果が得られても、シラス特有の特性に基づく崩壊の危険性が常に存在するということがこれまでの説ほど明らかになった。終りに本研究は文部省科学研究費(特定1)によつて「シラス地帯の防災に関する研究」の一環であることを付記して関係各位に謝意を表する。

文献 1). 岩坂、藤本：シラス層災害の問題点について、第3回災害科学統合シンポジウム論文集、1966-11 PP.66~69

2). 藤本：シラスのせん断特性について、土工基礎、Vol.13, No.2, Feb 1965, PP.56~64.

3) 藤本、他3名：粒子形状を考慮に入れた砂のバイインシーエフェクトについて、(既にシラスのせん断特性に関する研究報告)オイ田土壤工学研究会論文集、1966-11, PP.145~153

4) 上田、他2名：原位置試験によるシラスの強度について、オイ田土壤工学研究会論文集、1966-11, PP.64~65

5) 久藤、藤本：現場実験によるシラス層の土壌浸透について、土工基礎、Vol.13, April 1959, PP.33~46